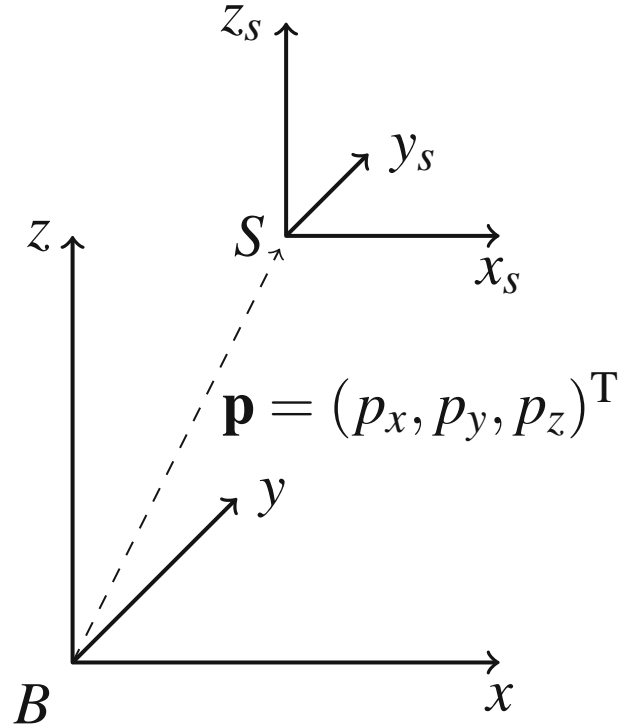


Posizione e orientazione di
un braccio robotico

Sistemi di coordinate

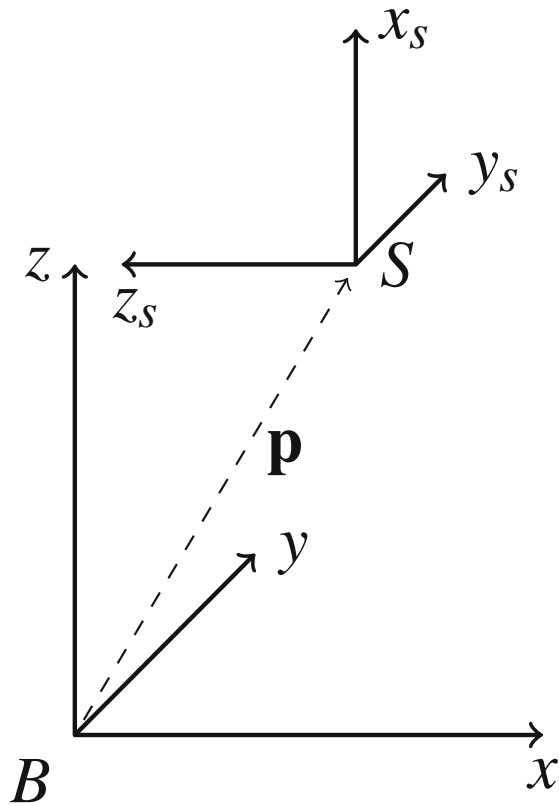


$$\mathbf{M}_S^B = \begin{pmatrix} 1 & 0 & 0 & p_x \\ 0 & 1 & 0 & p_y \\ 0 & 0 & 1 & p_z \\ 0 & 0 & 0 & 1 \end{pmatrix}$$

Matrice di rototraslazione

Trasformiamo le coordinate locali del sistema S rispetto al sistema di coordinate B

Sistemi di coordinate



$$\mathbf{M}_S^B = \begin{pmatrix} 0 & 0 & -1 & p_x \\ 0 & 1 & 0 & p_y \\ 1 & 0 & 0 & p_z \\ 0 & 0 & 0 & 1 \end{pmatrix}$$

Trasformiamo le coordinate locali del sistema S rispetto al sistema di coordinate B

Generica matrice di rototraslazione

$$\mathbf{M} = \begin{pmatrix} n_x & o_x & a_x & p_x \\ n_y & o_y & a_y & p_y \\ n_z & o_z & a_z & p_z \\ 0 & 0 & 0 & 1 \end{pmatrix} = \begin{pmatrix} \mathbf{n} & \mathbf{o} & \mathbf{a} & \mathbf{p} \end{pmatrix}$$

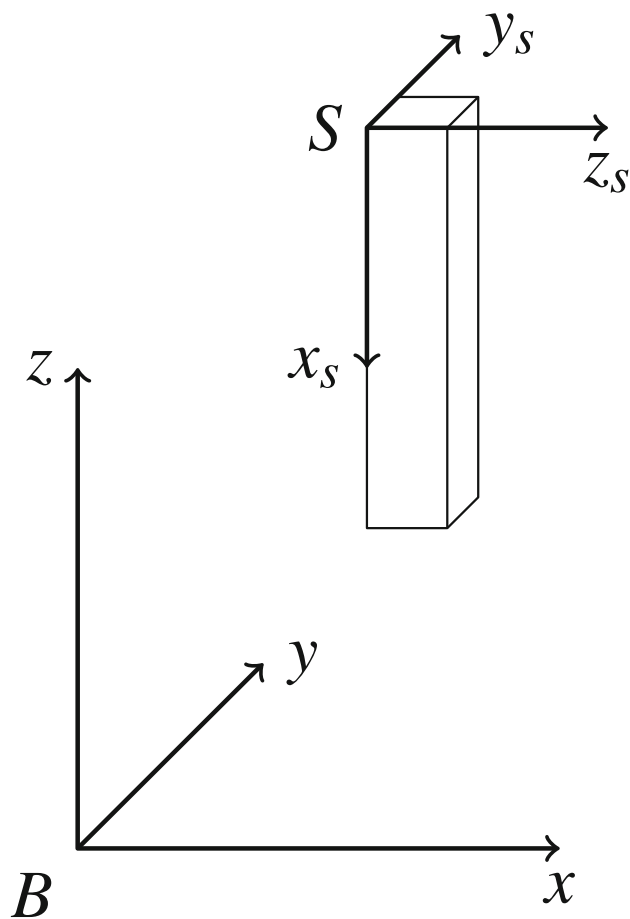
n_x
 n_y
 n_z Versore **n dell'asse x** del nuovo sistema di riferimento rispetto al vecchio

o_x
 o_y
 o_z Versore **o dell'asse y** del nuovo sistema di riferimento rispetto al vecchio

a_x
 a_y
 a_z Versore **a dell'asse z** del nuovo sistema di riferimento rispetto al vecchio

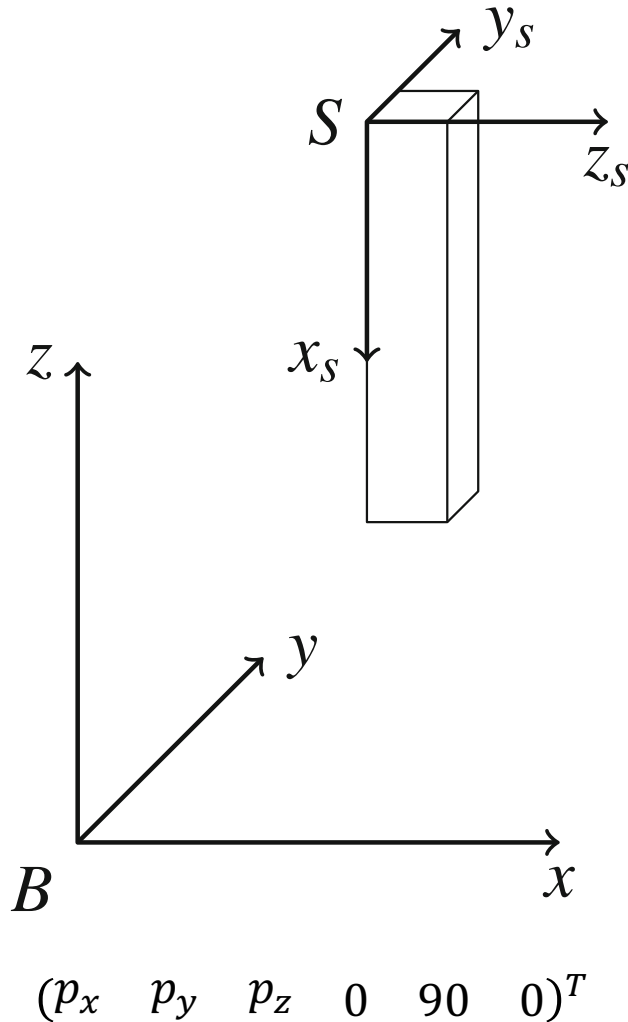
p_x
 p_y
 p_z Posizione **p dell'origine** del nuovo sistema di riferimento rispetto al vecchio

Esempio



$$\mathbf{M}_S^B = \begin{pmatrix} 0 & 0 & 1 & p_x \\ 0 & 1 & 0 & p_y \\ -1 & 0 & 0 & p_z \\ 0 & 0 & 0 & 1 \end{pmatrix}$$

Angoli



Rotazione del sistema di coordinate **S** rispetto a **B**

Convenzione:

- una rotazione positiva dell'asse x porta l'asse y verso l'asse z
- Una rotazione positiva dell'asse y porta l'asse z verso l'asse x

Angolo positivo	$x \rightarrow y$	$y \rightarrow z$	$z \rightarrow x$
Angolo negativo	$y \rightarrow x$	$z \rightarrow y$	$x \rightarrow z$

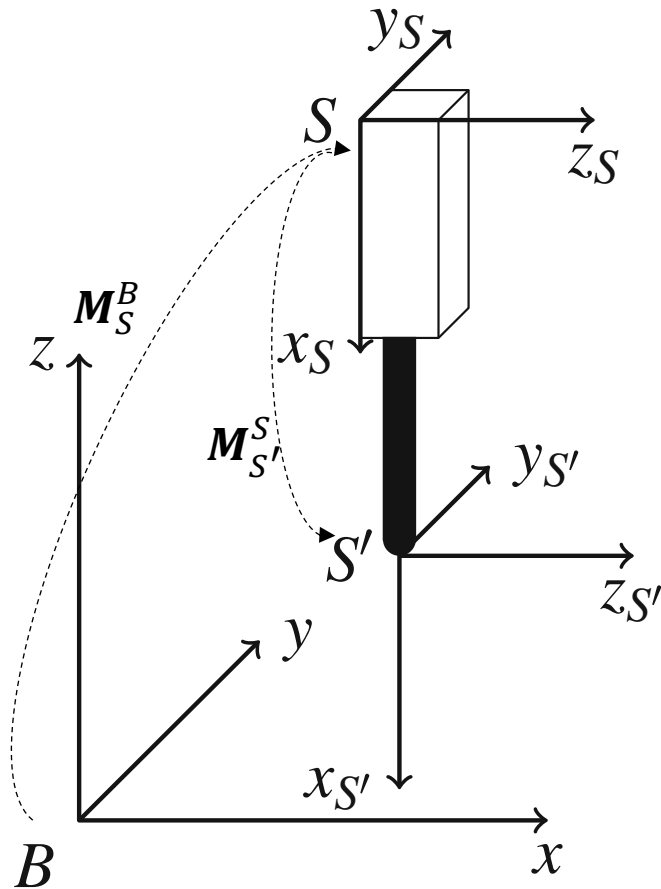
Vettore di Yaw, Pitch, Roll (imbardata, beccheggio, rollio):

$$YPR_S^B = (p_x \ p_y \ p_z \ \alpha \ \beta \ \gamma)^T$$

Letteratura medica: Flexion/extension, Varus/valgus, Rotation/derotation

Ricodiamo l'altra convenzione: gli angoli di Eulero

Posizioni e orientazioni relative



Tre sistemi di riferimento: $\mathbf{M}_S^B, \mathbf{M}_{S'}^S, \mathbf{M}_{S'}^B$

$$\mathbf{M}_S^B = \begin{pmatrix} 0 & 0 & 1 & p_x \\ 0 & 1 & 0 & p_y \\ -1 & 0 & 0 & p_z \\ 0 & 0 & 0 & 1 \end{pmatrix}$$

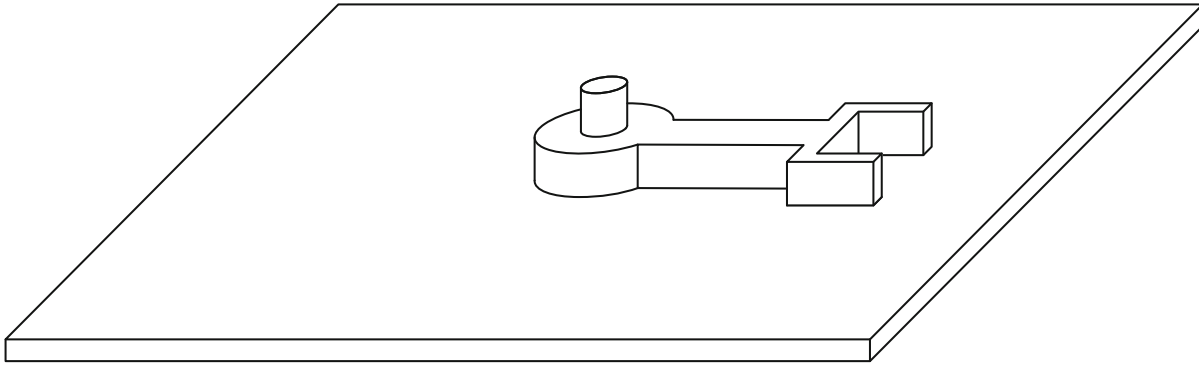
$$\mathbf{M}_{S'}^S = \begin{pmatrix} 1 & 0 & 0 & p'_x \\ 0 & 1 & 0 & p'_y \\ 0 & 0 & 1 & p'_z \\ 0 & 0 & 0 & 1 \end{pmatrix}$$

Dove $(p'_x \ p'_y \ p'_z)^T$ è l'origine di S' in coordinate di S.
Si ha:

$$\mathbf{M}_{S'}^B = \mathbf{M}_S^B \cdot \mathbf{M}_{S'}^S \rightarrow \text{moltiplichiamo a destra !!}$$

Braccio robotico

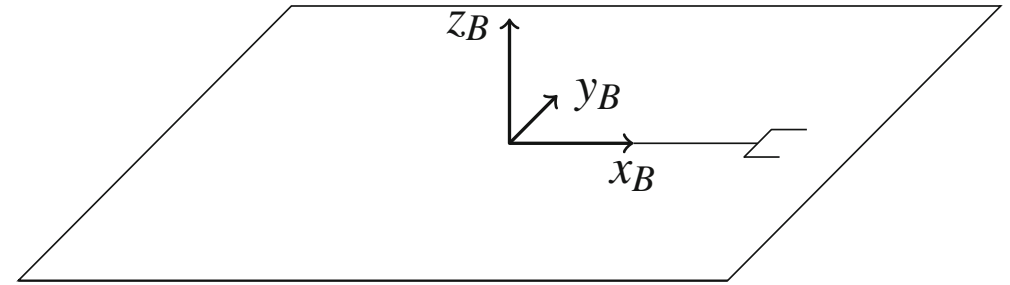
Catena robotica: bracci collegati mediante giunti



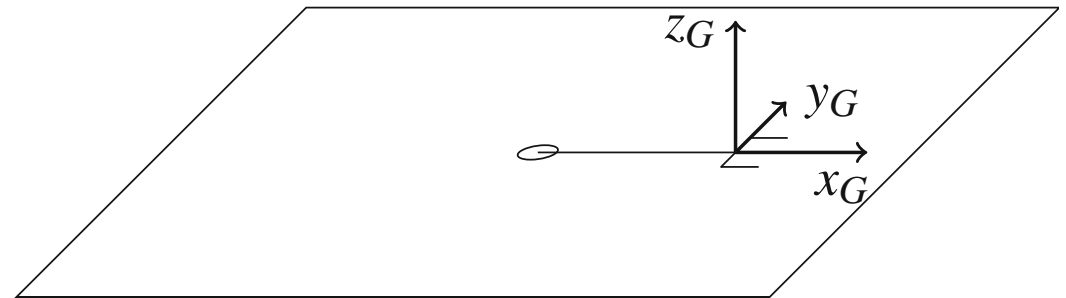
Robot planare con un giunto e una pinza (effettore)

Unico grado di libertà: rotazione θ attorno l'asse z_B

La matrice di riferimento della pinza è funzione di θ

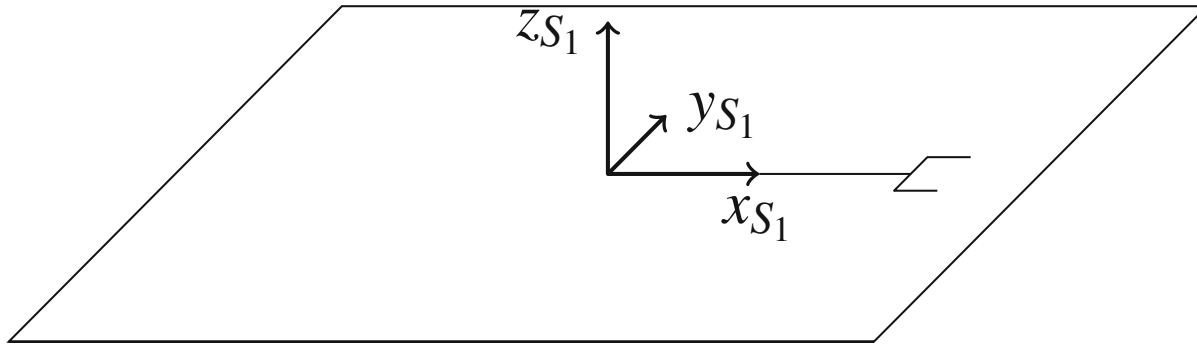


Sistema di riferimento **B** di base

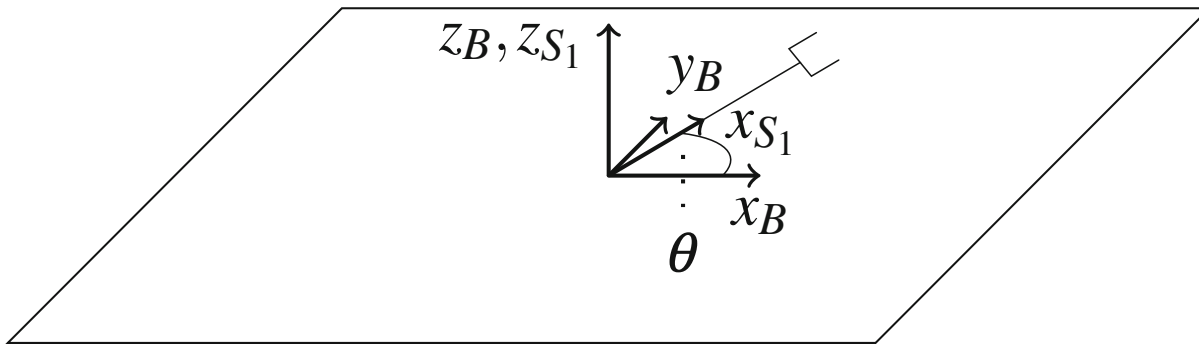


Sistema di riferimento **G** della pinza

Braccio robotico

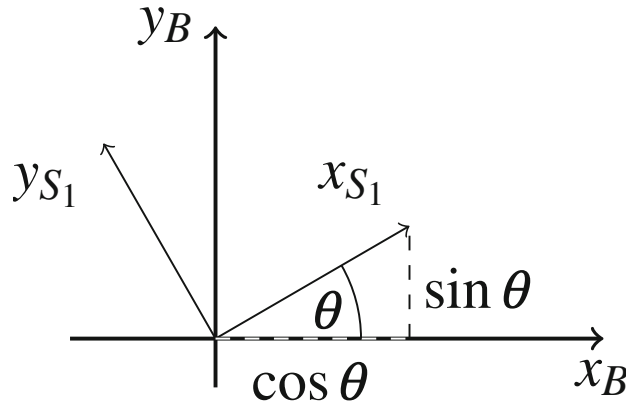


Aggiungiamo un sistema di riferimento intermedio S_1 solidale al giunto
Attenzione: quando il giunto si muove, B resta fermo e S_1 si muove con il giunto



Quando il giunto effettua una rotazione θ l'asse x_B resta fermo e l'asse x_{S_1} ruota di θ attorno l'asse $z_B = z_{S_1}$

Braccio robotico



Sistema di riferimento intermedio S_1 rispetto a B

$$x_{S_1} = \begin{pmatrix} \cos \theta \\ \sin \theta \\ 0 \end{pmatrix}$$

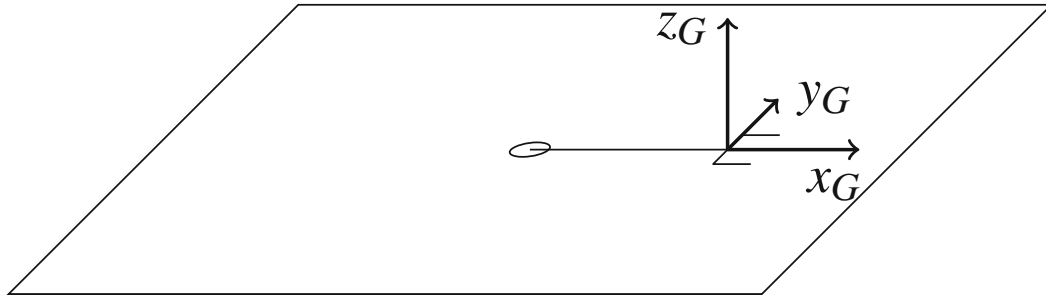
$$y_{S_1} = \begin{pmatrix} -\sin \theta \\ \cos \theta \\ 0 \end{pmatrix}$$

$$z_{S_1} = z_B$$

La matrice $M_{S_1}^B$ è:

$$M_{S_1}^B = \begin{pmatrix} \cos \theta & -\sin \theta & 0 & 0 \\ \sin \theta & \cos \theta & 0 & 0 \\ 0 & 0 & 1 & 0 \\ 0 & 0 & 0 & 1 \end{pmatrix}$$

Braccio robotico



Sistema di riferimento **G** della pinza rispetto **S₁**:
Si ottiene dalla traslazione di **S₁** della lunghezza L del giunto

$$\mathbf{M}_G^{S_1} = \begin{pmatrix} 1 & 0 & 0 & L \\ 0 & 1 & 0 & 0 \\ 0 & 0 & 1 & 0 \\ 0 & 0 & 0 & 1 \end{pmatrix}$$

Sistema di riferimento **G** della pinza rispetto **B**:
Si ottiene dal prodotto della matrice relativa ad **S₁** per la matrice relativa a **G**

$$\mathbf{M}_G^B = \mathbf{M}_{S_1}^B \cdot \mathbf{M}_G^{S_1} = \begin{pmatrix} \cos \theta & -\sin \theta & 0 & L \cos \theta \\ \sin \theta & \cos \theta & 0 & L \sin \theta \\ 0 & 0 & 1 & 0 \\ 0 & 0 & 0 & 1 \end{pmatrix}$$

Riepilogo delle rotazioni e traslazioni semplici

$$R(x, \theta) = \begin{pmatrix} 1 & 0 & 0 & 0 \\ 0 & \cos \theta & -\sin \theta & 0 \\ 0 & \sin \theta & \cos \theta & 0 \\ 0 & 0 & 0 & 1 \end{pmatrix} \quad R(y, \theta) = \begin{pmatrix} \cos \theta & 0 & \sin \theta & 0 \\ 0 & 1 & 0 & 0 \\ -\sin \theta & 0 & \cos \theta & 0 \\ 0 & 0 & 0 & 1 \end{pmatrix} \quad R(z, \theta) = \begin{pmatrix} \cos \theta & -\sin \theta & 0 & 0 \\ \sin \theta & \cos \theta & 0 & 0 \\ 0 & 0 & 1 & 0 \\ 0 & 0 & 0 & 1 \end{pmatrix}$$

Rotazione attorno l'asse x

Rotazione attorno l'asse y

Rotazione attorno l'asse z

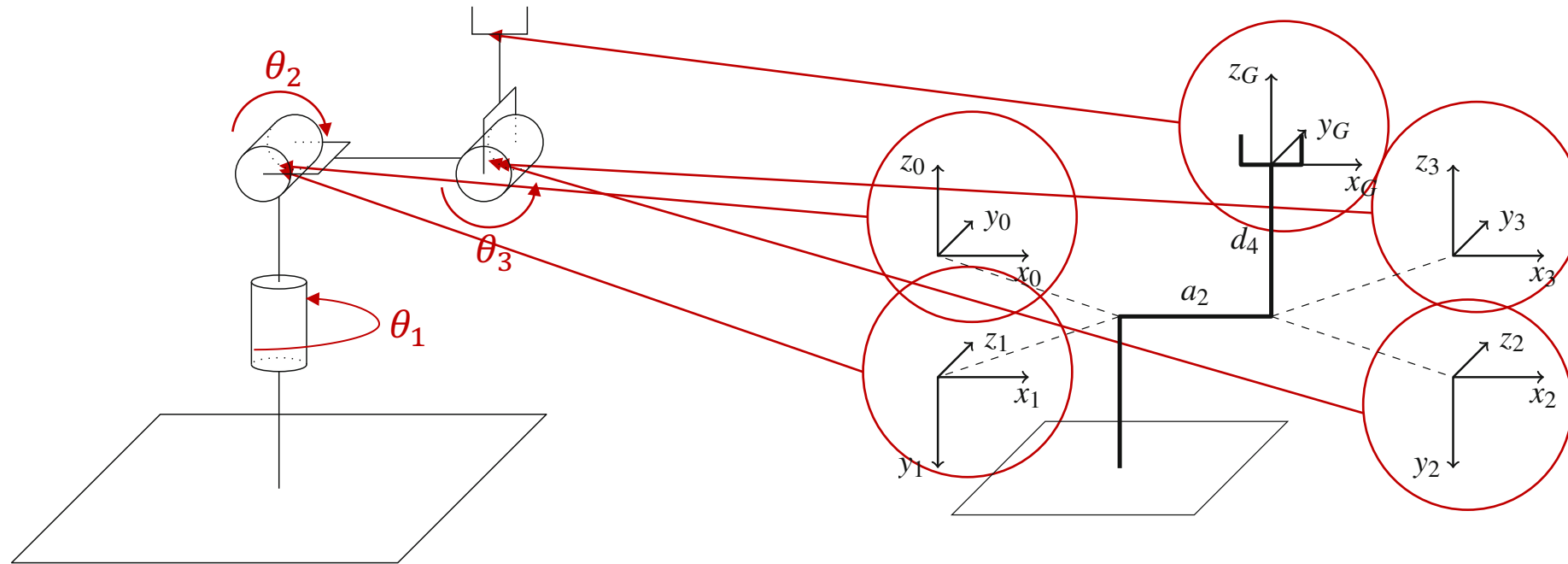
$$T(p_x, 0, 0) = \begin{pmatrix} 1 & 0 & 0 & p_x \\ 0 & 1 & 0 & 0 \\ 0 & 0 & 1 & 0 \\ 0 & 0 & 0 & 1 \end{pmatrix} \quad T(0, p_y, 0) = \begin{pmatrix} 1 & 0 & 0 & 0 \\ 0 & 1 & 0 & p_y \\ 0 & 0 & 1 & 0 \\ 0 & 0 & 0 & 1 \end{pmatrix} \quad T(0, 0, p_z) = \begin{pmatrix} 1 & 0 & 0 & 0 \\ 0 & 1 & 0 & 0 \\ 0 & 0 & 1 & p_z \\ 0 & 0 & 0 & 1 \end{pmatrix}$$

Traslazione lungo l'asse x

Traslazione lungo l'asse y

Traslazione lungo l'asse z

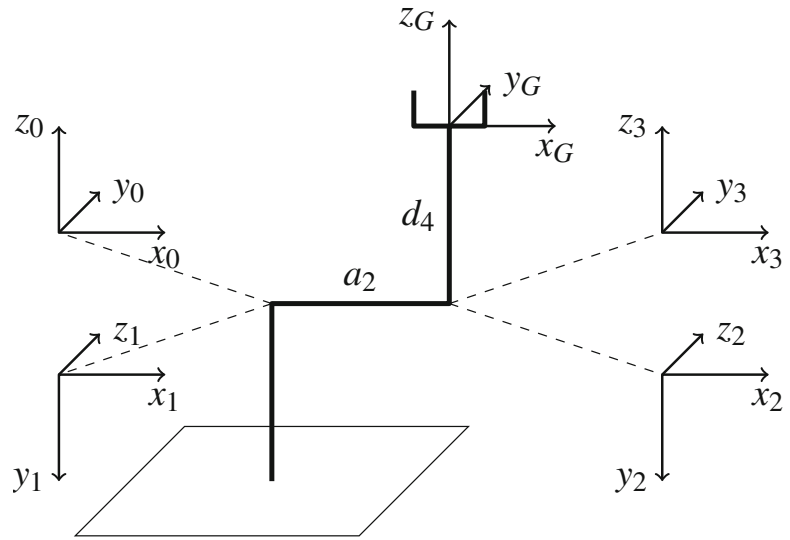
Robot a tre giunti (elbow manipulator)



Angoli ai giunti: $\theta_1, \theta_2, \theta_3$

Sistemi di coordinate intermedi $S_i = (x_i, y_i, z_i), i = 1, \dots, 3$
 $B = S_0 = (x_0, y_0, z_0)$ sistema di coordinate fissato al tavolo
Nota: l'origine di B coincide con S_1
 S_G : coordinate della pinza

Robot a tre giunti (elbow manipulator)

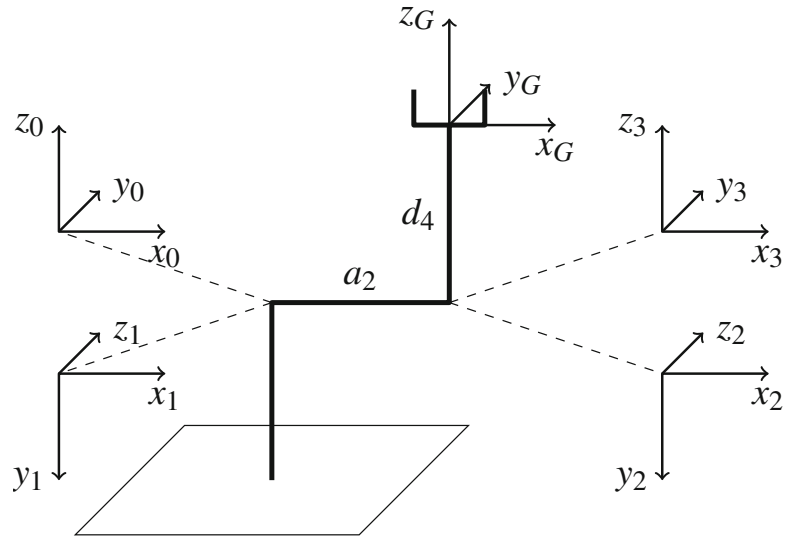


Primo passo da S_0 a S_1 :

- origine in comune;
- rotazione del giunto attorno l'asse z;
- Rotazione del sistema di riferimento di -90 attorno l'asse x

$$\mathbf{M}_{S_1}^{S_0} = \mathbf{M}_1^0 = R(z, \theta_1) \cdot R(x, -90) = \begin{pmatrix} \cos \theta_1 & -\sin \theta_1 & 0 & 0 \\ \sin \theta_1 & \cos \theta_1 & 0 & 0 \\ 0 & 0 & 1 & 0 \\ 0 & 0 & 0 & 1 \end{pmatrix} \begin{pmatrix} 1 & 0 & 0 & 0 \\ 0 & 0 & 1 & 0 \\ 0 & -1 & 0 & 0 \\ 0 & 0 & 0 & 1 \end{pmatrix} = \begin{pmatrix} \cos \theta_1 & 0 & -\sin \theta_1 & 0 \\ \sin \theta_1 & 0 & \cos \theta_1 & 0 \\ 0 & -1 & 0 & 0 \\ 0 & 0 & 0 & 1 \end{pmatrix}$$

Robot a tre giunti (elbow manipulator)

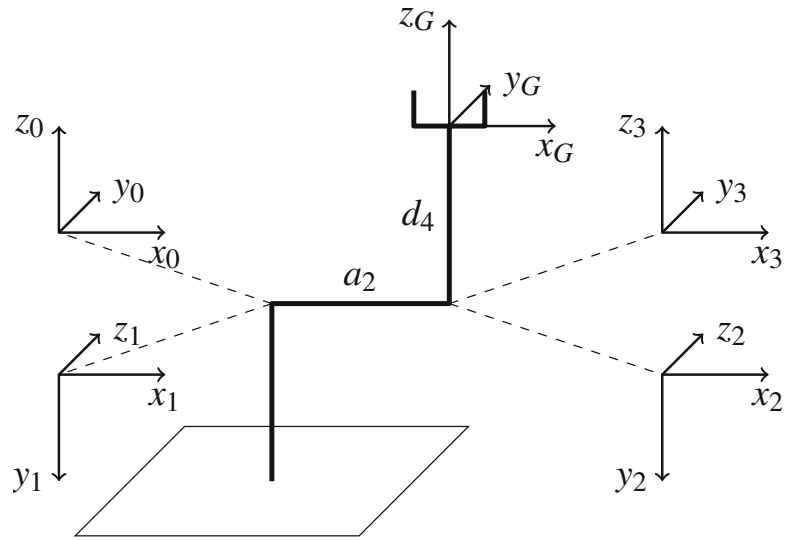


Secondo passo da S_1 a S_2 :

- rotazione del giunto 2 attorno l'asse z;
- Traslazione del sistema di riferimento di a_2 lungo l'asse x;

$$\mathbf{M}_2^1 = R(z, \theta_2) \cdot T(a_2, 0, 0) = \begin{pmatrix} \cos \theta_2 & -\sin \theta_2 & 0 & 0 \\ \sin \theta_2 & \cos \theta_2 & 0 & 0 \\ 0 & 0 & 1 & 0 \\ 0 & 0 & 0 & 1 \end{pmatrix} \begin{pmatrix} 1 & 0 & 0 & a_2 \\ 0 & 1 & 0 & 0 \\ 0 & 0 & 1 & 0 \\ 0 & 0 & 0 & 1 \end{pmatrix} = \begin{pmatrix} \cos \theta_2 & -\sin \theta_2 & 0 & a_2 \cos \theta_2 \\ \sin \theta_2 & \cos \theta_2 & 0 & a_2 \sin \theta_2 \\ 0 & 0 & 1 & 0 \\ 0 & 0 & 0 & 1 \end{pmatrix}$$

Robot a tre giunti (elbow manipulator)

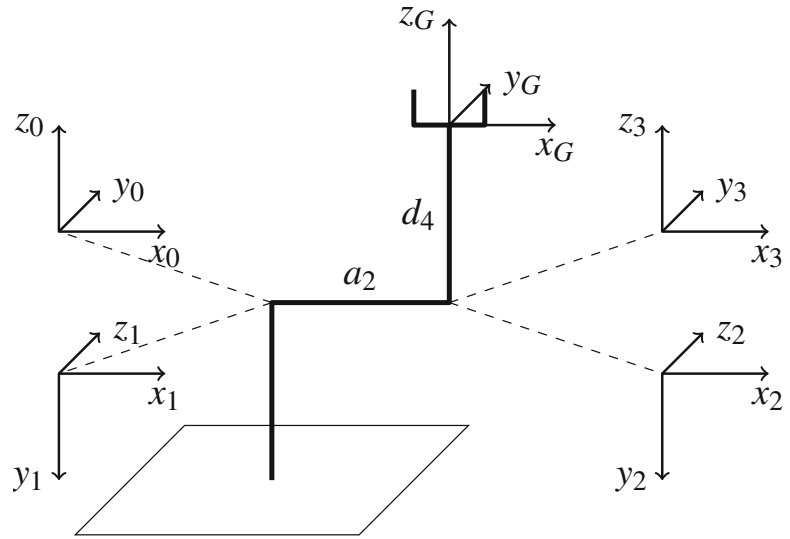


Terzo passo da S_2 a S_3 :

- rotazione del giunto 3 attorno l'asse z ;
- Rotazione del sistema di riferimento di 90° attorno l'asse x

$$\mathbf{M}_3^2 = R(z, \theta_3) \cdot R(x, 90) = \begin{pmatrix} \cos \theta_3 & -\sin \theta_3 & 0 & 0 \\ \sin \theta_3 & \cos \theta_3 & 0 & 0 \\ 0 & 0 & 1 & 0 \\ 0 & 0 & 0 & 1 \end{pmatrix} \begin{pmatrix} 1 & 0 & 0 & 0 \\ 0 & 0 & -1 & 0 \\ 0 & 1 & 0 & 0 \\ 0 & 0 & 0 & 1 \end{pmatrix} = \begin{pmatrix} \cos \theta_3 & 0 & \sin \theta_3 & 0 \\ \sin \theta_3 & 0 & -\cos \theta_3 & 0 \\ 0 & 1 & 0 & 0 \\ 0 & 0 & 0 & 1 \end{pmatrix}$$

Robot a tre giunti (elbow manipulator)



Quarto passo da S_3 a G :

- Traslazione del sistema di riferimento di d_4 lungo l'asse z

$$\mathbf{M}_G^3 = T(0, 0, d_4) = \begin{pmatrix} 1 & 0 & 0 & 0 \\ 0 & 1 & 0 & 0 \\ 0 & 0 & 1 & d_4 \\ 0 & 0 & 0 & 1 \end{pmatrix}$$

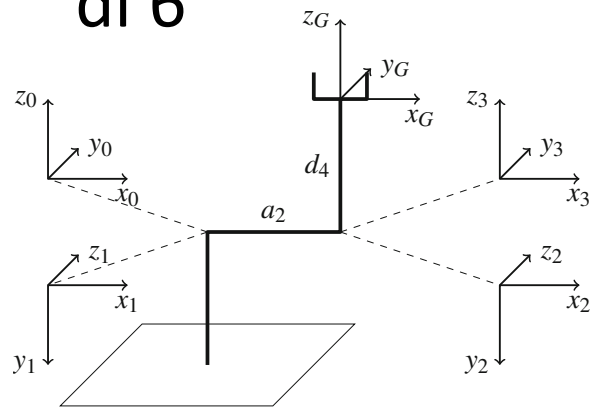
Cinematica diretta del robot a tre bracci

Si ottiene: $\mathbf{M}_G^0 = \mathbf{M}_1^0 \cdot \mathbf{M}_2^1 \cdot \mathbf{M}_3^2 \cdot \mathbf{M}_G^3 = \begin{pmatrix} c_1 c_{23} & -s_1 & c_1 s_{23} & a_2 c_1 c_2 + d_4 c_1 s_{23} \\ s_1 c_{23} & c_1 & s_1 s_{23} & a_2 s_1 c_2 + d_4 s_1 s_{23} \\ -s_{23} & 0 & c_{23} & -a_2 s_2 + d_4 c_{23} \\ 0 & 0 & 0 & 1 \end{pmatrix}$

Dove: $s_1 = \sin \theta_1 \dots$; $s_{23} = \sin(\theta_2 + \theta_3) \dots$

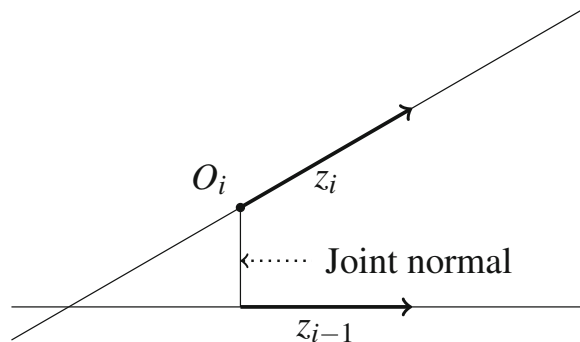
Convenzione di Denavit-Hartenberg (DH)

- Convenzione per definire le terne di riferimento relative ai bracci
- Minimizzare i parametri per trasformare una terna dall'altra: 4 invece di 6

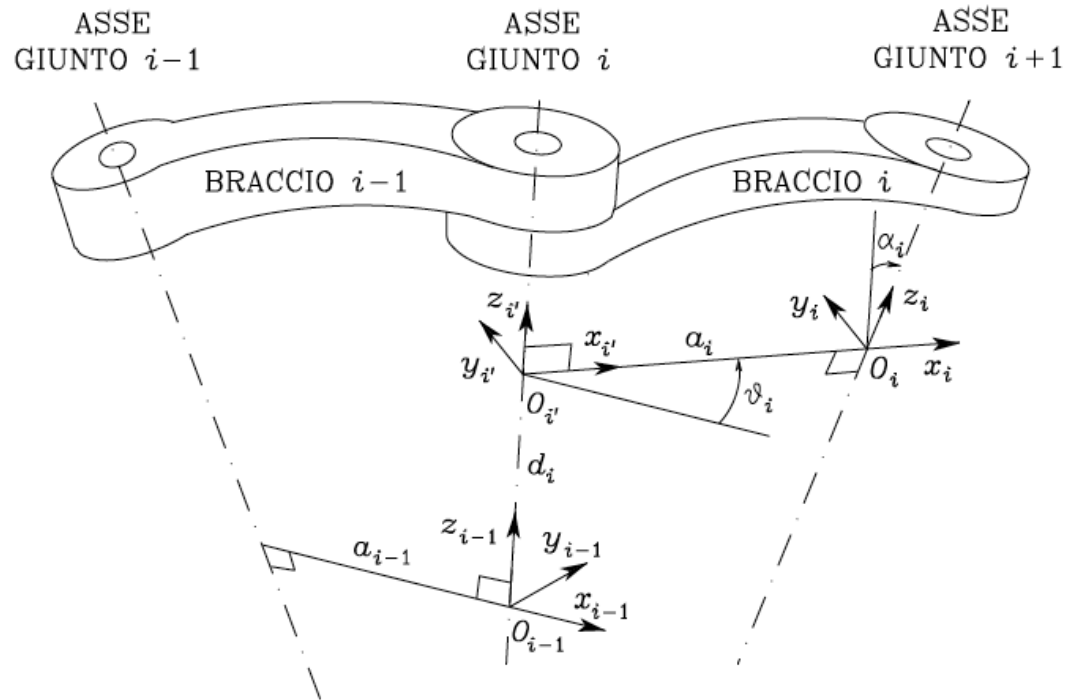


Convenzione di Denavit-Hartenberg:

- sistema base di riferimento
- Per il generico sistema S_i
 - z_i asse di rotazione del giunto ($i + 1$)
 - x_i ortogonale a z_i e a z_{i-1}
la direzione di x_i è da z_{i-1} verso z_i
 - y_i è tale da fare la terna S_i levogira
- L'origine O_i della terna S_i è all'intersezione tra z_i e la normale comune a z_{i-1} e z_i (non sono complanari)

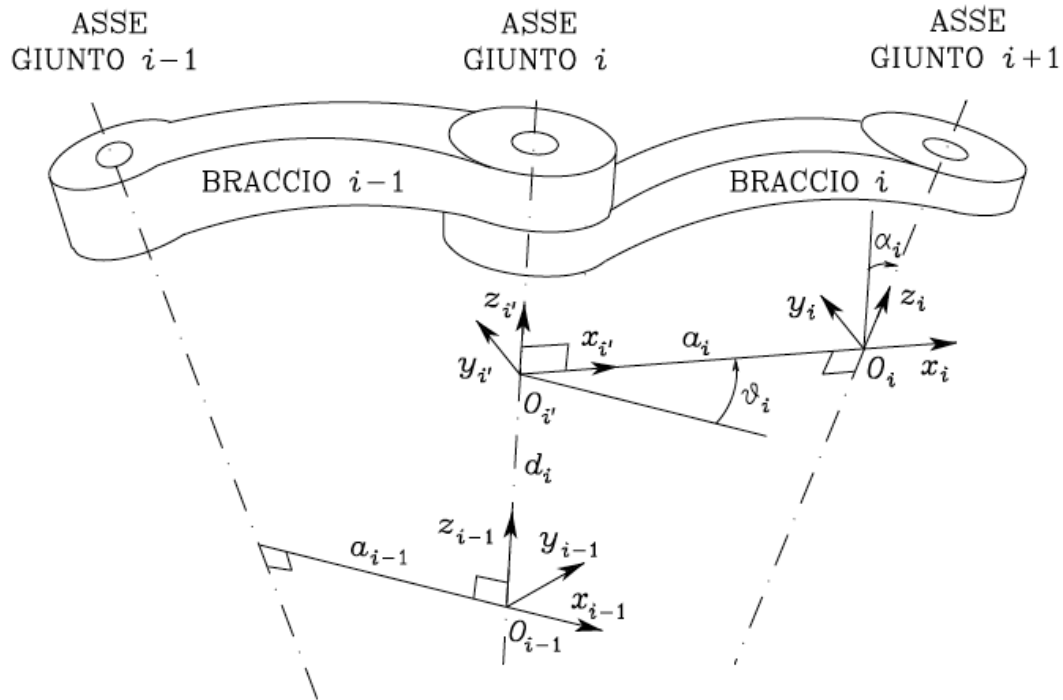


Convenzione di Denavit-Hartenberg (DH)



- si sceglie l'asse z_i giacente lungo l'asse del giunto $(i + 1)$
- si individua O_i all'intersezione dell'asse z_i con la normale comune agli assi z_i e a z_{i-1} , e con $O_{i'}$ si indica l'intersezione della normale comune con z_{i-1}
- si assume l'asse x_i diretto lungo la normale comune agli assi z_i e z_{i-1} con verso positivo dal giunto (i) al giunto $(i + 1)$
- si sceglie l'asse y_i in modo da completare una terna levogira

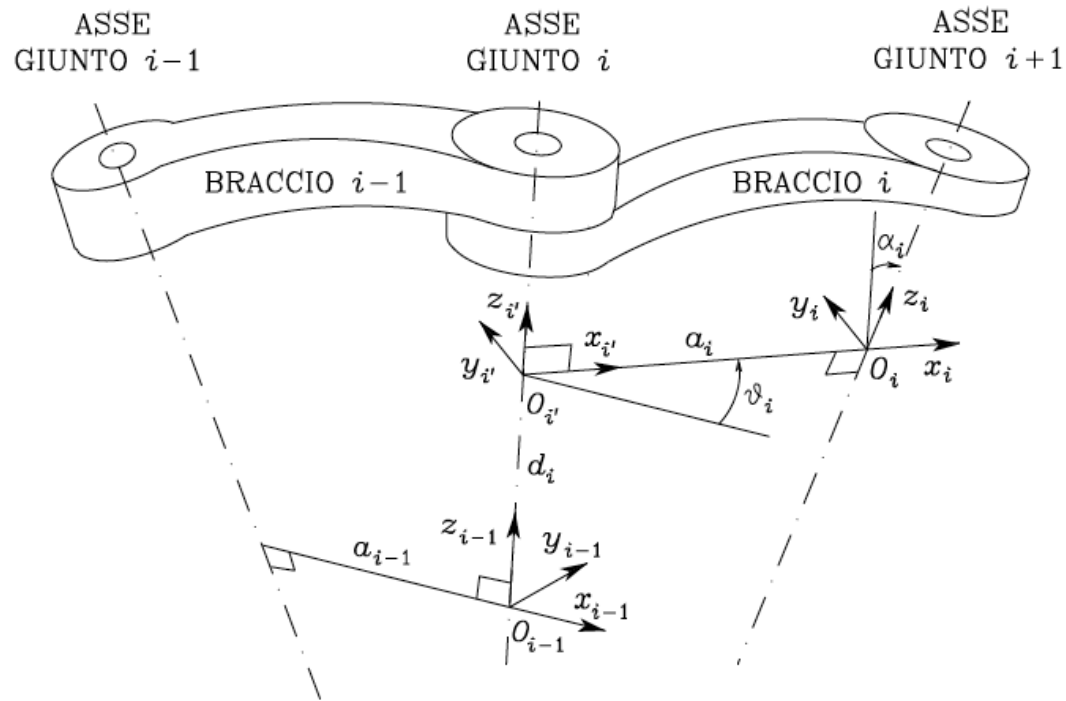
Convenzione di Denavit-Hartenberg (DH)



Definizione non univoca della terna:

- con riferimento alla terna B , per la quale la sola direzione dell'asse z_0 risulta specificata: si possono scegliere arbitrariamente O_0 e x_0
- con riferimento alla terna n per la quale il solo asse x_n risulta soggetto a vincolo (deve essere normale all'asse z_{n-1}): infatti non vi è il giunto $n + 1$, per cui non è definito z_n e lo si può scegliere arbitrariamente
- quando due assi consecutivi sono paralleli, in quanto la normale comune tra di essi non è univocamente definita
- quando due assi consecutivi si intersecano, in quanto il verso di x_i è arbitrario
- quando il giunto i è prismatico, nel qual caso la sola direzione dell'asse z_{i-1} è determinata

Parametri di Denavit-Hartenberg



a_i distanza di O_i da $O_{i'}$;

d_i coordinata su z_{i-1} di $O_{i'}$;

α_i angolo intorno all'asse x_i tra l'asse z_{i-1} e l'asse z_i valutato positivo in senso antiorario;

θ_i angolo intorno all'asse z_{i-1} tra l'asse x_{i-1} e l'asse x_i valutato positivo in senso antiorario.

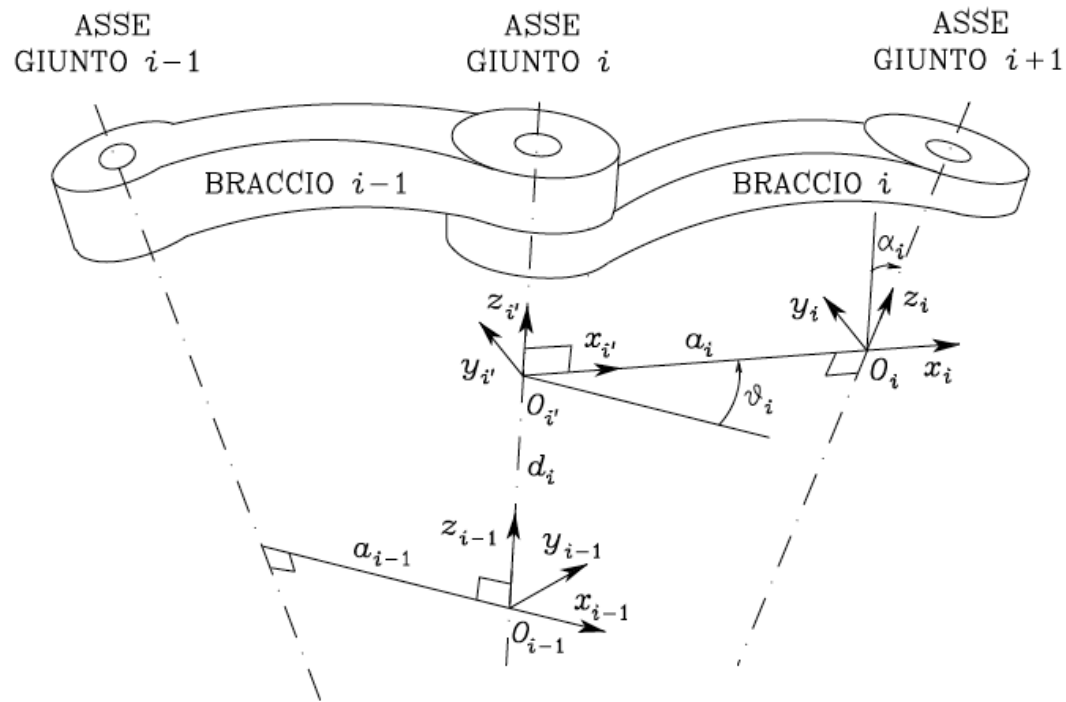
a_i e α_i sono sempre costanti

se il giunto è *rotoidale* la variabile è θ_i

se il giunto è *prismatico* la variabile è d_i

Una sola variabile per giunto!!

Procedura per passare dalla terna $i-1$ alla terna i



1. Traslazione lungo l'asse z_{i-1} di una quantità d_i ;
2. Rotazione attorno l'asse z_{i-1} di un angolo θ_i
3. Traslazione lungo l'asse x_i di una quantità a_i
4. Rotazione attorno l'asse x_i di un angolo α_i

$$\mathbf{M}_i^{i-1} = T(0, 0, d_i) \cdot R(z, \theta_i) \cdot T(a_i, 0, 0) \cdot R(x, \alpha_i)$$

Sole quattro trasformazioni per giunto!!

Procedura per passare dalla terna i-1 alla terna i

$$\mathbf{M}_i^{i-1} = T(0, 0, d_i) \cdot R(z, \theta_i) \cdot T(a_i, 0, 0) \cdot R(x, \alpha_i)$$

$$\mathbf{M}_i^{i-1} = \begin{pmatrix} 1 & 0 & 0 & 0 \\ 0 & 1 & 0 & 0 \\ 0 & 0 & 1 & d_i \\ 0 & 0 & 0 & 1 \end{pmatrix} \begin{pmatrix} \cos \theta_i & -\sin \theta_i & 0 & 0 \\ \sin \theta_i & \cos \theta_i & 0 & 0 \\ 0 & 0 & 1 & 0 \\ 0 & 0 & 0 & 1 \end{pmatrix} \begin{pmatrix} 1 & 0 & 0 & a_i \\ 0 & 1 & 0 & 0 \\ 0 & 0 & 1 & 0 \\ 0 & 0 & 0 & 1 \end{pmatrix} \begin{pmatrix} 1 & 0 & 0 & 0 \\ 0 & \cos \alpha_i & -\sin \alpha_i & 0 \\ 0 & \sin \alpha_i & \cos \alpha_i & 0 \\ 0 & 0 & 0 & 1 \end{pmatrix}$$

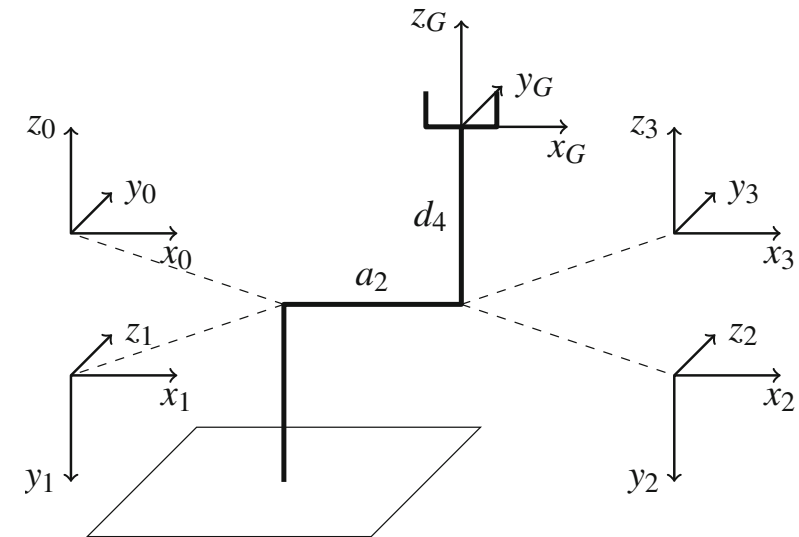
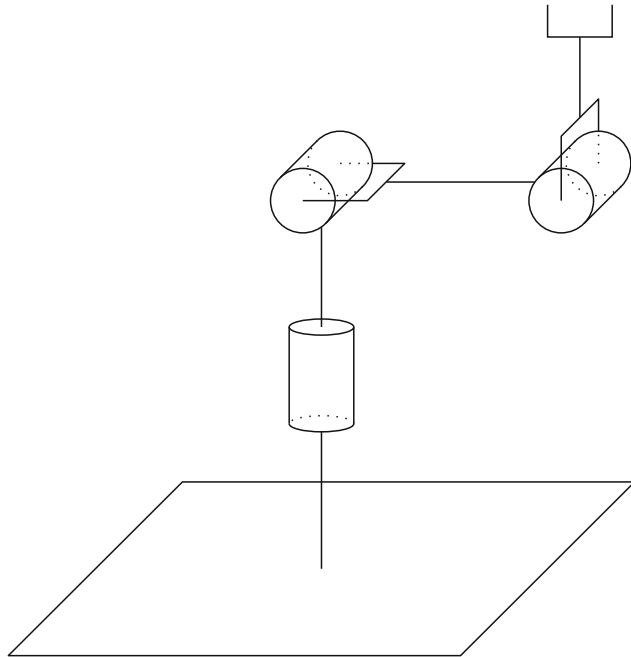
$$\mathbf{M}_i^{i-1} = \begin{pmatrix} c_{\theta_i} & -c_{\alpha_i}s_{\theta_i} & s_{\alpha_i}s_{\theta_i} & a_i c_{\theta_i} \\ s_{\theta_i} & c_{\alpha_i}c_{\theta_i} & -s_{\alpha_i}c_{\theta_i} & a_i s_{\theta_i} \\ 0 & s_{\alpha_i} & c_{\alpha_i} & d_i \\ 0 & 0 & 0 & 1 \end{pmatrix}$$

4 parametri

i	α_i	a_i	d_i	θ_i
1	α_1	a_1	d_1	θ_1
2	α_2	a_2	d_2	θ_2
\vdots	\vdots	\vdots	\vdots	\vdots

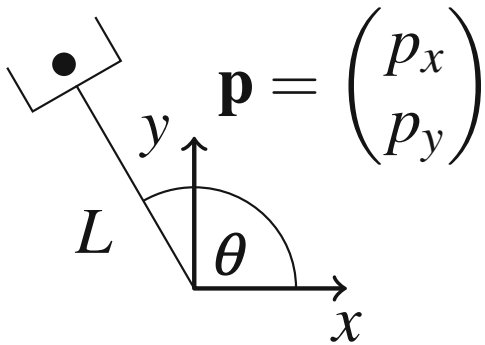
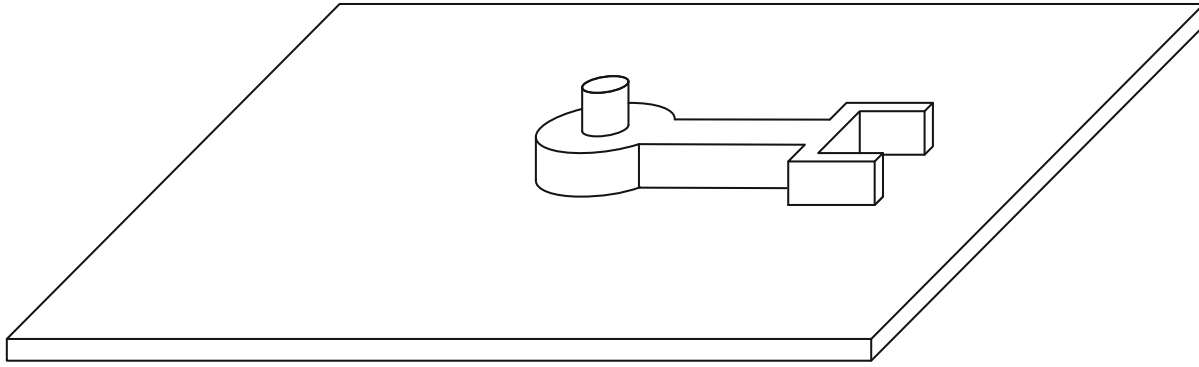
Tabella DH del manipolatore

Esempio



i	α_i	a_i	d_i	θ_i
1	-90	0	0	θ_1
2	0	a_2	0	θ_2
3	90	0	0	θ_3
G	0	0	d_4	0

Angoli ai giunti (cinematica inversa)



Il target è $\mathbf{p} = \begin{pmatrix} p_x \\ p_y \end{pmatrix}$; dobbiamo trovare θ

Supponiamo $L = 1$; $\cos \theta = p_x$; $\sin \theta = p_y$

Da cui: $\frac{\sin \theta}{\cos \theta} = \frac{p_y}{p_x}$ E quindi: $\theta = \tan^{-1} \frac{p_y}{p_x}$

Estensione dell'arco-tangente: $\theta = \text{atan2}(p_y, p_x)$

Estensione della funzione arco-tangente

$$\operatorname{atan2}(y, x) = \begin{cases} 0 & x = 0, y = 0 \\ \pi/2 & x = 0, y > 0 \\ 3 \cdot \pi/2 & x = 0, y < 0 \\ \tan^{-1}(y/x) & x > 0, y \geq 0 \\ 2\pi + \tan^{-1}(y/x) & x > 0, y < 0 \\ \pi + \tan^{-1}(y/x) & x < 0, y \geq 0 \\ \pi + \tan^{-1}(y/x) & x < 0, y < 0 \end{cases}$$

Quaternioni

- Notazione alternativa alle matrici per indicare posizione e orientamento
- Molto usata nelle operazioni di tracciamento dell'effettore
- Durante il tracking la prescrizione della traiettoria dell'effettore tramite sequenze di trasformazioni di matrici può portare a delle singolarità posizionali inducendo movimenti «a scatto»
- I quaternioni si prestano ad una interpolazione continua della traiettoria dell'effettore

Quaternioni

Un quaternione si definisce come «numero iper-complesso» con una parte immaginaria vettoriale: $\mathbf{a} = a_1 + a_2i + a_3j + a_4k = (a_1, \mathbf{v}_a)$

Le parti immaginarie i, j, k (versori dello spazio della parte vettoriale) sono definite nel seguente modo:

$ii = -1$	$jj = -1$	$kk = -1$
$ij = k$	$jk = i$	$ki = j$
$ji = -k$	$kj = -i$	$ik = -j$

Quaternione come vettore a 4 dimensioni $\mathbf{a} = (a_1 \quad a_2 \quad a_3 \quad a_4)^T$

Somma di quaternioni: $\mathbf{a} + \mathbf{b} = (a_1 + b_1, \mathbf{v}_a + \mathbf{v}_b)^T = (a_1 + b_1 \quad a_2 + b_2 \quad a_3 + b_3 \quad a_4 + b_4)^T$

Quaternioni

Prodotto di quaternioni: $\mathbf{ab} = (a_1 + a_2i + a_3j + a_4k)(b_1 + b_2i + b_3j + b_4k) = \begin{pmatrix} a_1b_1 - a_2b_2 - a_3b_3 - a_4b_4 \\ a_1b_2 + a_2b_1 + a_3b_4 - a_4b_3 \\ a_1b_3 - a_2b_4 + a_3b_1 + a_4b_2 \\ a_1b_4 + a_2b_3 - a_3b_2 + a_4b_1 \end{pmatrix}$

Attenzione: $\mathbf{ab} \neq \mathbf{ba}$

Norma di un quaternione: $\|\mathbf{a}\| = \sqrt{a_1^2 + a_2^2 + a_3^2 + a_4^2}$

Inverso di un quaternione: $\mathbf{a}^{-1} = \frac{(a_1 \quad -a_2 \quad -a_3 \quad -a_4)^T}{\|\mathbf{a}\|}$

$$\mathbf{aa}^{-1} \triangleq \mathbf{e} = (1 \quad 0 \quad 0 \quad 0)^T$$

Rotazioni con i quaternioni

Un quaternione, di opportuni coefficienti esprime la generica rotazione $R(\theta, \mathbf{n})$ di un angolo θ attorno ad un asse definito dal versore unitario \mathbf{n}

$$\mathbf{r} = \mathbf{r}_p + \mathbf{r}_\perp, \quad \mathbf{r}_p = (\mathbf{n} \cdot \mathbf{r})\mathbf{n}, \quad \mathbf{r}_\perp = \mathbf{r} - (\mathbf{n} \cdot \mathbf{r})\mathbf{n}$$

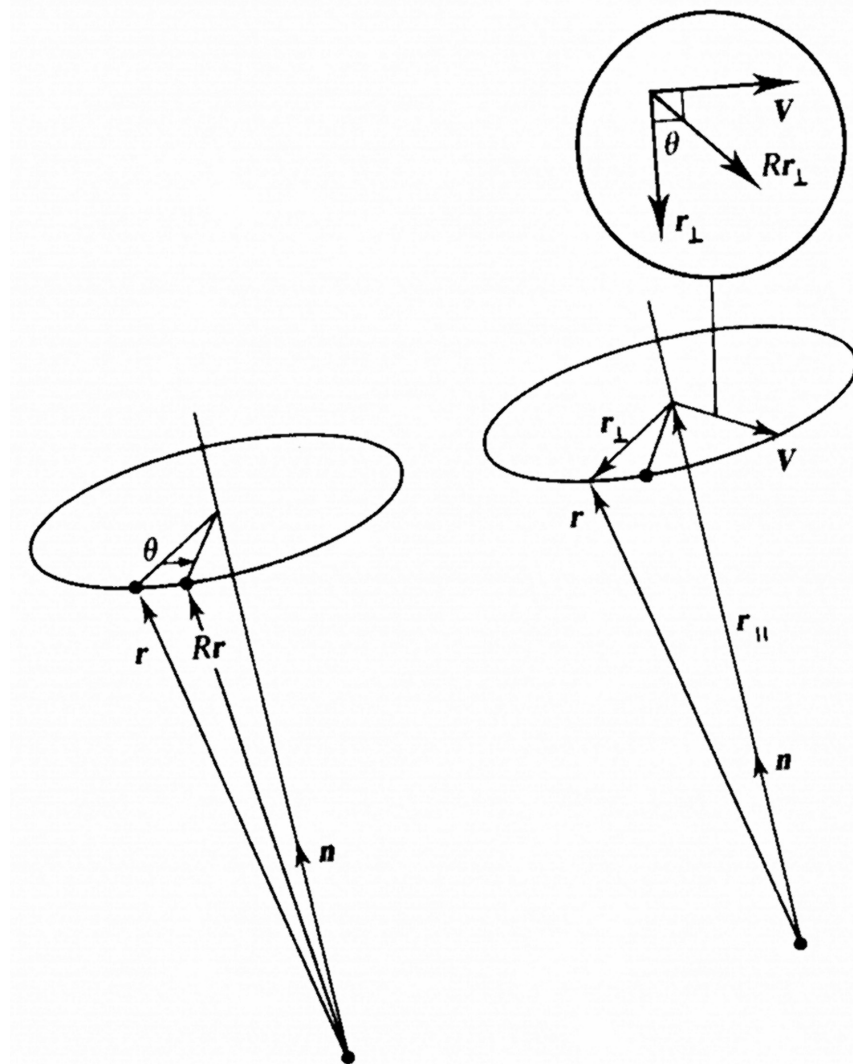
$$\mathbf{V} = \mathbf{n} \times \mathbf{r}_\perp = \mathbf{n} \times \mathbf{r}$$

$$R\mathbf{r}_\perp = \cos\theta \mathbf{r}_\perp + \sin\theta \mathbf{V}$$

$$\begin{aligned} R\mathbf{r} &= R\mathbf{r}_p + R\mathbf{r}_\perp = R\mathbf{r}_p + \cos\theta \mathbf{r}_\perp + \sin\theta \mathbf{V} = \\ &= (\mathbf{n} \cdot \mathbf{r})\mathbf{n} + \cos\theta (\mathbf{r} - (\mathbf{n} \cdot \mathbf{r})\mathbf{n}) + \sin\theta \mathbf{n} \times \mathbf{r} = \\ &= \boxed{\cos\theta \mathbf{r} + (1 - \cos\theta) \mathbf{n}(\mathbf{n} \cdot \mathbf{r}) + \sin\theta \mathbf{n} \times \mathbf{r}} \end{aligned}$$

Questa è la rotazione di un vettore \mathbf{p} tramite un quaternione unitario

$\mathbf{a} = (\cos \theta/2, n_x \sin \theta/2, n_y \sin \theta/2, n_z \sin \theta/2)^T$ secondo la trasformazione $\mathbf{a}\mathbf{p}\mathbf{a}^{-1}$



Rotazioni con i quaternioni

$$\mathbf{a}\mathbf{p}\mathbf{a}^{-1} = (\cos \theta/2, n_x \sin \theta/2, n_y \sin \theta/2, n_z \sin \theta/2)(0, p_x, p_y, p_z)(\cos \theta/2, -n_x \sin \theta/2, -n_y \sin \theta/2, -n_z \sin \theta/2)$$

$$= (\cos \theta/2, n_x \sin \theta/2, n_y \sin \theta/2, n_z \sin \theta/2) \begin{pmatrix} \sin \theta/2 \mathbf{n} \cdot \mathbf{p} \\ \cos \theta/2 p_x + \sin \theta/2 (\mathbf{n} \times \mathbf{p})_x \\ \cos \theta/2 p_y + \sin \theta/2 (\mathbf{n} \times \mathbf{p})_y \\ \cos \theta/2 p_z + \sin \theta/2 (\mathbf{n} \times \mathbf{p})_z \end{pmatrix}$$

$$= (0, \cos \theta \mathbf{p} + \sin \theta (\mathbf{n} \times \mathbf{p}) + (1 - \cos \theta)(\mathbf{n} \cdot \mathbf{p})\mathbf{n})$$

Ricordando che:

$$\mathbf{n} \times \mathbf{p} = \begin{pmatrix} n_y p_z - n_z p_y \\ n_z p_x - n_x p_z \\ n_x p_y - n_y p_x \end{pmatrix} \quad \cos \theta = \left(\cos \frac{\theta}{2} \right)^2 - \left(\sin \frac{\theta}{2} \right)^2 \quad \sin \theta = 2 \sin \frac{\theta}{2} \cos \frac{\theta}{2}$$